

# МОДЕЛИРОВАНИЕ ПРОФИЛЕЙ РАСПРЕДЕЛЕНИЯ КОНЦЕНТРАЦИИ НОСИТЕЛЕЙ ТОКА В LOW-HIGH-ПЕРЕХОДАХ С ПРОМЕЖУТОЧНЫМ СЛОЕМ ПРОТИВОПОЛОЖНОГО ТИПА ЛЕГИРОВАНИЯ

Д. И. Тетельбаум, Ю. И. Якунин, А. П. Касаткин, А. В. Мурель

Нижегородский исследовательский физико-технический институт, 6036600, Нижний Новгород, Россия

(Получена 4 марта 1993 г. Принята к печати 8 апреля 1993 г.)

Методом моделирования на ЭВМ проведен анализ влияния наличия промежуточного слоя противоположного типа легирования в low-high-переходах на профили распределения концентрации носителей тока и встроенного потенциала, что представляется важным в связи с изготовлением на основе структур с такими переходами преобразователей излучений. Моделирование вольт-фарадных характеристик диодов с барьером Шоттки на основе рассматриваемых структур позволяет определить параметры промежуточного слоя, при которых его свойства (при неконтролируемом его возникновении или в случае его специального создания) могут быть исследованы емкостными методами.

Создание  $n-n^+$  или  $p-p^+$  low-high-переходов (LH-переходов) используется для управления характеристиками диодов с барьером Шоттки [1] и при изготовлении ряда полупроводниковых преобразователей излучений [2, 3]. При этом возникает вопрос о возможности контролируемого изменения профилей распределения концентрации носителей тока и встроенного потенциала в области LH-перехода. В частности, в ряде случаев требуется, чтобы область изменения встроенного потенциала была, возможно, более узкой. В настоящей работе методом моделирования на ЭВМ показано, что эффективным способом регулирования толщины этой области является создание вблизи LH-перехода промежуточного слоя противоположного типа легирования. Проиллюстрирована также возможность применения метода вольт-фарадных характеристик (ВФХ) для исследования свойств такого слоя при определенных его параметрах.

Рассмотрим случай  $n-n^+$ -перехода (результаты для  $p-p^+$ -перехода могут быть получены при соответствующей замене обозначений). Предположим, что однородное распределение имеет место как для доноров с концентрациями  $N_i$ ,  $N_b$  в областях с толщинами  $x_i$ ,  $x_b$  соответственно, так и для акцепторов с концентрацией  $N_a$  в промежуточном слое с толщиной  $x_a$  (рис. 1). Тогда выражения для профилей распределения концентрации доноров  $N_D(x)$  и акцепторов  $N_A(x)$  можно представить в виде

$$N_D(x) = \begin{cases} N_b, & 0 < x < x_b \\ N_i, & x_b < x < x_i + x_b, \end{cases} \quad (1)$$

$$N_A(x) = \begin{cases} 0, & 0 < x < x_b, \\ N_a, & x_b < x < x_b + x_a. \end{cases} \quad (2)$$

Значение толщины промежуточного слоя будем считать достаточно малым, для того чтобы исследовать в основном лишь монотонные зависимости концен-

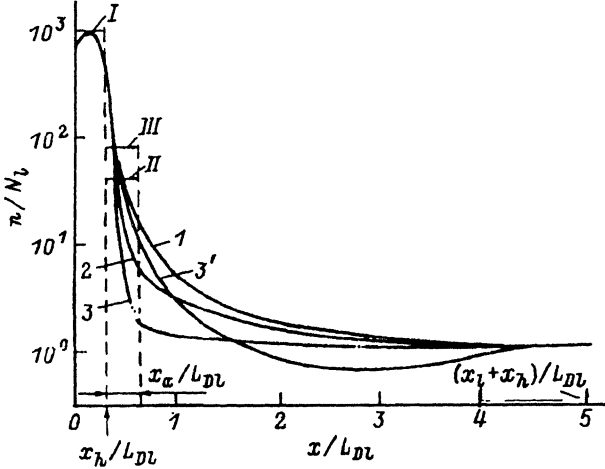


Рис. 1. Профили распределения концентрации электронов  $n(x)$ , отнесенной к концентрации доноров  $N_i$  в  $n$ -области, рассчитанные для случая  $N_h/N_i = 10^3$ ,  $x_h/L_{Dl} = 0.31$ ,  $x_a/L_{Dl} = 0.34$ ;  $N_a/N_i$ : I — 0, 2 — 40, 3 — 80. Кривая 3' представляет стандартный С—V-профиль, если в качестве ВФХ использовать кривую 3 на рис. 2. Показаны также относительные значения концентрации доноров в  $n^+$ -слое ( $I$  —  $N_h/N_i = 10^3$ ) и акцепторов в промежуточном слое ( $N_a/N_i$ : II — 40, III — 80).

трации электронов  $n$  от  $x$  в области перехода. Таким образом, в этой области  $n \geq N_i$ , а концентрация дырок  $p \leq n_i^2/N_i$ , где  $n_i$  — собственная концентрация носителей тока. Следовательно, в промежуточном слое противоположным является тип легирования, но не тип проводимости. Тогда при  $n_i^2 \ll N_i^2$  в уравнении Пуассона для электростатического потенциала  $\varphi(x)$  можно пренебречь зарядом дырок, т. е.

$$\frac{d^2\varphi}{dx^2} = -\frac{q}{\epsilon_0\epsilon}(N_D - N_A - n), \quad (3)$$

где  $q$  — величина заряда электрона,  $\epsilon_0$  — диэлектрическая постоянная,  $\epsilon$  — относительная диэлектрическая проницаемость полупроводника. Уравнение (3) решалось, используя формулу Больцмана для концентрации электронов [4]:  $n = N_i \exp(q\varphi/kT)$ , где  $T$  — абсолютная температура,  $k$  — постоянная Больцмана. Предполагалось выполненным условие  $\varphi(x_l + x_h) = 0$ , и считался заданным поверхностный потенциал  $\varphi(0) = \varphi_s$ .

Нелинейное дифференциальное уравнение (3) приводилось к линейному методом квазилинеаризации [5]. Получающиеся при этом серии линейных уравнений для распределения потенциала решались численно методом прямой и обратной прогонки с исходным распределением потенциала, выбранным в виде кусочно-линейной аппроксимации, достаточно близкой к действительному распределению. Величина  $x_l$  подбиралась таким образом, чтобы ее выбор при  $x_l > x_{lc}$  ( $x_{lc}$  — некоторое пороговое значение  $x_l$ ) не оказывал влияния на решения. Проверялась также устойчивость полученной разностной схемы.

На рис. 1 в полулогарифмическом масштабе представлены зависимости относительной концентрации электронов  $n(x)/N_i$  от  $x/L_{Dl}$  [ $L_{Dl} = (\epsilon_0\epsilon kT/q^2 N_i)^{1/2}$  — длина дебаевского экранирования для  $n$ -области]. Эти зависимости при соответствующем формуле Больцмана изменении масштаба вдоль оси ординат совпадают с профилями распределения потенциала. Значение поверхностного потенциала выбиралось таким, чтобы максимум функции  $n(x)/N_i$  практически совпадал со значением  $N_h/N_i$ . При больших значениях параметров

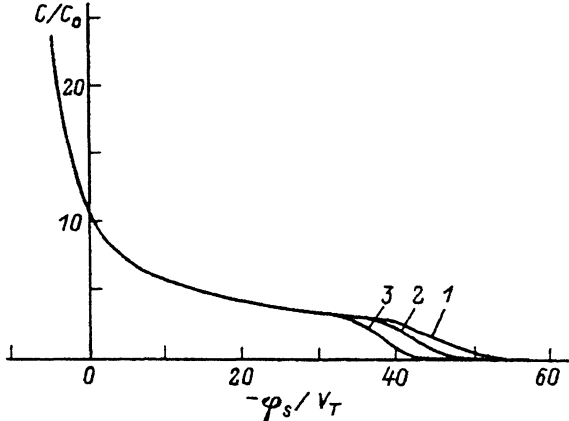


Рис. 2. Зависимость относительной емкости  $C/C_0 M-n^+$ - $n$ -структурь от  $-\varphi_s/V_T$  при отсутствии (1) и наличии (2, 3) промежуточного слоя противоположного типа легирования. Кривые 1–3 рассчитаны для параметров структуры, которые были использованы при получении кривых 1–3 на рис. 1 соответственно.

$\varphi_s$  и  $x_h$  зависимости  $n(x)$  и  $\varphi(x)$  в области LH-перехода имеют тот же вид. На рис. 2 приведены зависимости относительной емкости  $c/c_0 M-n^+-n$ -структурь ( $C_0 = S\varepsilon_0\varepsilon/L_{Dl}$ ,  $S$  – площадь структуры) от  $-\varphi_s/V_T$  ( $V_T = kT/q$ ), которые были рассчитаны с использованием формулы для емкости  $C = dQ/d\varphi_s$ , где  $Q$  – заряд на металлическом электроде, равный по величине заряду приповерхностной области полупроводника. Поскольку  $-\varphi_s = V_r + V_k$ , где  $V_r$  – величина обратного напряжения на структуре,  $V_k$  – высота барьера Шоттки, то характеристики (рис. 2) совпадают со сдвинутыми вдоль оси абсцисс ВФХ, построенными в относительных величинах.

При заданной толщине промежуточного слоя имеется такое пороговое значение  $N_a = N_{ac}$ , что при  $N_a > N_{ac}$  в области перехода возникает потенциальная яма для электронов. Для параметров, выбранных при расчете кривых на рис. 1, величина  $N_{ac}$  несколько превышает  $80 N_l$ . Поведение кривых на рис. 1 показывает, что при  $N_a \approx N_{ac}$  толщина области  $\Delta x$ , в которой происходит основное изменение встроенного потенциала, можно считать совпадающим с величиной  $x_a$  (полагаем, что  $x_a > L_{Dh}$ , где  $L_{Dh}$  – радиус дебаевского экранирования для  $n^+$ -области). Таким образом, введение промежуточного слоя позволяет существенно менять величину  $\Delta x$ . Например, при  $N_l = 3 \cdot 10^{14} \text{ см}^{-3}$ ,  $\varepsilon = 12$ ,  $T = 300 \text{ K}$  будем иметь  $\Delta x = L_{Dl} = 0.23 \text{ мкм}$  для  $N_a = 0$  и  $\Delta x \approx x_a = 0.078 \text{ мкм}$  для  $N_a = 80 N_l$ .

Расчет кривой 1 на рис. 2 проведен для случая, когда промежуточный слой отсутствует, что соответствует результатам моделирования ВФХ, приведенным в работе [6]. Вид этой кривой может быть также проанализирован, используя аналитические методы рассмотрения LH-переходов [7]. Сравнение зависимостей 1 и 3 на рис. 2 приводит к выводу о том, что сдвиг ВФХ, соответствующий наличию промежуточного слоя с  $N_a = 80 N_l$  и  $x_a = 0.34 L_{Dl}$ , составляет при  $T = 300 \text{ K}$  величину 0.21 В и может быть определен экспериментально. Таким образом, в рассмотренном случае метод ВФХ может быть предложен для исследования промежуточных слоев как в случае специального их создания, так и при их неконтролируемом [8] возникновении. При этом чувствительность к наличию прослоек метода ВФХ может оказаться выше по сравнению с этой характеристикой, приводимой для некоторых других методом [8]. Отметим, однако, что стандартное  $C-V$ -профилирование [4] может в данном случае приводить к

большим ошибкам (ср. кривые 3 и 3' на рис. 1). Это оправдывает применение математического моделирования в случаях, подобных рассматриваемому.

Приведем пример возможного использования полученных выше результатов. Пусть в область LH-перехода введены рекомбинационные центры таким образом, что с увеличением уровня возбуждения неравновесных носителей тока вблизи перехода величина потенциального барьера для дырок при переходе их из  $n$ -области в  $n^+$ -область уменьшается, а обусловленная этими центрами эффективная скорость поверхностной рекомбинации [9] возрастает. Этот эффект может быть использован для изготовления приемников излучения, работающих в режиме автоограничения. Например, вводимые в кремний имплантацией легких ионов рекомбинационные центры [10] могут быть сосредоточены в области толщиной  $d = 0.1$  мкм [11]. Если в данном случае введением промежуточного слоя уменьшать толщину области встроенного потенциала от  $0.23$  мкм  $> 2d$  до  $0.078$  мкм  $< d$ , то можно было бы менять крутизну переходных, а также люкс-амперных характеристик приборов рассматриваемого типа.

Таким образом, в работе методом моделирования проведен анализ влияния наличия промежуточного слоя противоположного типа легирования в LH-переходах на профили распределения концентрации носителей тока и встроенного потенциала, что представляется важным в связи с изготовлением на основе LH-переходов фоточувствительных структур. Моделирование ВФХ структур с рассматриваемыми переходами позволяет определить параметры промежуточного слоя, при которых его свойства могут быть исследованы емкостными методами.

#### СПИСОК ЛИТЕРАТУРЫ

- [1] Е. В. Бузанева. Микроструктуры интегральной электроники, 304. М. (1990).
- [2] J. Guldberg, D. K. Schroder. IEEE Trans. Electron Dev., ED-18, 1029 (1971).
- [3] J. Janesick, T. Elliott, T. Daud, J. McCarthy, M. Blouke. Proc. Soc. Photo-Opt. Instrum. Eng., 570, 46 (1985).
- [4] С. Зи. Физика полупроводниковых приборов, т. 1, 456. М. (1984).
- [5] Р. Беллман, Р. Калаба. Квазилинеаризация и нелинейные граничные задачи, 183. М. (1968).
- [6] Ch. L. Wilson. IEEE Trans. Electron Dev., ED-27, 2262 (1980).
- [7] Z. T. Kuznicki. J. Appl. Phys., 69, 6526 (1991).
- [8] В. Е. Бахрушин, П. Н. Галкин, В. П. Токарев, И. М. Скворцов, А. И. Рожков. Электрон. техника, сер. 2, вып. 1 (210), 10(1991).
- [9] S. N. Singh, P. K. Singh. IEEE Trans. Electron Dev., ED-38, 337 (1991).
- [10] А. В. Мурель, А. П. Касаткин. Тез. докл. 9-й Всес. конф. «Взаимодействие атомных частиц с твердым телом», т. 2, 200. М. (1989).
- [11] А. П. Касаткин, А. В. Мурель, Э. В. Шитова. Изв. вузов. Физика, 31, 122 (1988).

Редактор В. В. Чалдышев